

## رخساره‌های کربناته، میکروفاسیس‌ها و چینه‌شناسی سکانسی نهشته‌های پرمین در برش باگونگ (طبس)

فرزاد ستوهیان<sup>۱\*</sup> و محسن رنجبران<sup>۲</sup>

۱- گروه محیط‌زیست، دانشکده منابع طبیعی، دانشگاه گیلان، گیلان

۲- دانشکده علوم زمین، دانشگاه تهران، تهران

\*farzad\_sotohian@yahoo.com

دریافت: ۹۴/۳/۱۲ پذیرش: ۹۴/۶/۸

### چکیده

سنگ‌های پرمین برش باگونگ به سن بلورین-دوراشامین (سازند جمال) شامل سنگ‌های کربناته می‌باشد. این سنگ‌ها بر روی سازند سردر و در زیر سازند سرخ شیل قرار گرفته‌اند. مطالعات پتروگرافی نشانگر این است که این سنگ‌ها را می‌توان به ۱۳ میکروفاسیس سنگ آهکی تقسیم کرد. تلفیق و نتایج حاصل از مطالعات میکروسکوپی و شواهد صحرایی مشخص کرده است که این میکروفاسیس‌های آهکی در چهار زیر محیط؛ ساحل، لagon، بار (سد) و دریایی باز نهشته شده‌اند. نبود سازندگان واقعی و موثر ریزش و جریان‌های حاصل از توربیدیات نشانه آن است که پلاتفرم کربناته پرمین برش باگونگ از نوع سکو هموکلینال می‌باشد. تشکیل و توسعه این پلاتفرم کربناته مصادف با پیشروی دریا در بلورین است. براساس مشاهدات میدانی و مطالعه مقاطع نازک و رخساره‌های رسوبی یک توالی رسوبی دسته دوم و دو توالی رسوبی دسته سوم در برش باگونگ تشخیص داده شد. هر توالی از تعدادی پاراسکانس‌های کم عمق شونده به سمت بالا تشکیل شده است. این سکانس‌ها با ناپیوستگی‌های نوع ۱ (SB1) و ناپیوستگی نوع ۲ (SB2) در نهشته‌های کربناته تشخیص داده شده‌اند. سکانس‌های پرمین بالایی این ناحیه با سکانس‌های جهانی پرمین بالایی مطابقت دارند.

**واژه‌های کلیدی:** میکروفاسیس، سکو هموکلینال، توالی، طبس، پرمین

### مقدمه

ارنست [۵] بر اساس مطالعه بریوزوئرهای بخش زیرین سازند جمال در برش سراب در منطقه بزمان سن بلورین را تعیین نمود. در سال‌های اخیر مطالعات جامع تری از سازند جمال در نواحی مختلف ایران مرکزی به وسیله پرتوآذر [۲] و طاهری و وزیری [۳] و عارفی‌فرد [۴] انجام شده است. توالی کربناته تخریبی، پایین‌ترین بخش سازند جمال در ناحیه‌ی شیرگشت، به عنوان بخشی از سازند باگونگ معروف شده است. سن این بخش بر اساس داده‌های به دست آمده از ناحیه‌ی ازبک کوه [۲] آسلین-ساکمارین تعیین شد، اما بر اساس مطالعات انجام شده توسط لون و وزیری [۲۳] بخش باگونگ در مقطع تیپ خود، سن بلورین را نشان می‌دهد، ولی در مطالعات اخیر [۶] بخش باگونگ، دارای سن یاختاشین - بلورین می‌باشد. توالی‌های کربناته - تخریبی در ناحیه‌ی ازبک کوه قدیمی‌تر از بخش باگونگ هستند و یک سازند جداگانه به نام زلدو را تشکیل داده‌اند [۲۲]

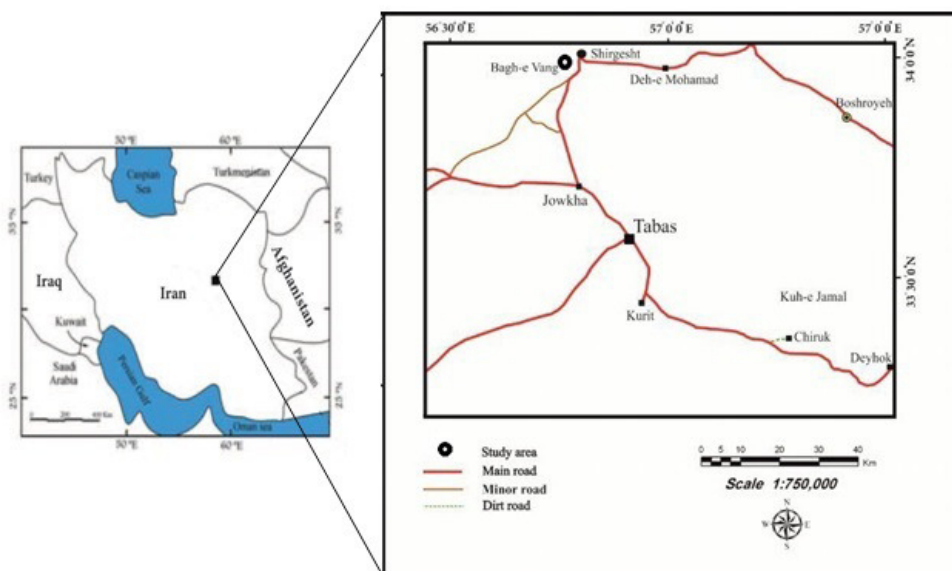
رسوبات پرمین در ایران مرکزی به نام سازند جمال [۳۳] نام‌گذاری شده‌اند. بلوك طبس که میان گسل ناییند در خاور و گسل کلمرد - کوه بنان در باخت قرار دارد، از جمله مناطقی است که روند تکاملی پالئوزویک آن با مناطق مجاور همخوانی و هماهنگی ندارد [۱]. این سازند اولین بار در جنوب رشته کوه شتری معرفی شد که از ۵۰۰ متر توالی کربناته و دولومیت تشکیل شده است [۲۰]. در ناحیه شیرگشت همانند برش تیپ، سازند جمال اساساً از آهک و دولومیت به ضخامت تقریباً ۳۱۵ متر تشکیل شده است. بخش قاعده‌ای آن با ناپیوستگی هم شیب شیل و ماسه‌سنگ‌های سبز سازند سردر را پوشانده و با پیوستگی توسط رسوبات سازند سرخ شیل پوشیده می‌شود.

سن سازند جمال بر اساس وجود فسیل‌هایی از برآکیوپودا، کنودونت، آمونوئید و فوزولینید به آرتئیسکین-پرمین بالایی نسبت داده می‌شود. یار احمد و

### موقعیت جغرافیایی

برش باع ونگ در محدوده نقشه  $1/100,000$  شیرگشت رخنمون دارد [۲۹]. این برش در  $45$  کیلومتری شمال غرب ناحیه طبس و جنوب غرب شیرگشت، در مسیر طبس به شیرگشت در محلی به نام کوه باع ونگ قرار دارد. مشخصات جغرافیایی آن عبارتست از:  $56^{\circ} 56' E$  و  $33^{\circ} 30' N$  دقتیه طول شرقی، و  $33^{\circ} 30' N$  و  $56^{\circ} 56' E$  دقتیه عرض شمالی (شکل ۱).

برش مورد مطالعه از کامل‌ترین رخنمون‌های سازند جمال در ایران است که مطالعات دقیق و سیستماتیک در ارتباط با محیط رسوبی و توالی آن صورت نگرفته است. از آنجایی که به دلیل تنوع فون در دوره پرمین و نیز فراوانی میکروفسیل‌های فرامینی فر سازند جمال بیشتر از این منظر، مورد مطالعه محققین گرامی قرار گرفته است، لذا نگارندگان مصمم گردیدند که به دلیل اهمیت محیط رسوبی و بازسازی شرایط و ارائه مدل رسوبی این جنبه از مطالعات را کمتر به آن توجه گردیده را در این تحقیق مورد بررسی دقیق قرار دهند.



شکل ۱. موقعیت جغرافیایی و راههای دسترسی به مقطع کوه جمال (اقتباس از پرتوآذر [۲])

۴- مارن با سنگ‌آهک رسی خاکستری به ضخامت  $15$  متر.

۵- شیل با سنگ‌آهک مارنی نازک لایه به ضخامت  $30$  متر. بخش بالایی این واحد شامل فوزولینید، مرجان، برآکیوپد و گاستروپد فراوان هست.

۶- سنگ‌آهک توده‌ای در قاعده دارای لایه‌بندی، خاکستری تا زرد به ضخامت  $10$  متر. بخش قاعده‌ای آن خرد شده است.

۷- سنگ‌آهک با لایه‌بندی خوب، خاکستری، دارای بین لایه‌هایی از مارن و باند و ندول‌های چرتی به ضخامت  $110$  متر.

۸- سنگ‌آهک دولومیتی و دولومیت ضخیم لایه تا توده‌ای، زرد تا خاکستری با ندول و باندهای چرتی به ضخامت  $30$  متر.

### مشخصات سنگ‌چینهای سازند جمال در برش باع ونگ

نهشته‌های پرمین برش باع ونگ به ضخامت  $280$  متر است و در قاعده با ناپیوستگی هم‌شیب بر روی سازند سردر متشکل از شیل و ماسه‌سنگ قرار گرفته و خود با پیوستگی توسط رسوبات سازند سرخ‌شیل پوشیده می‌شود. بر اساس شواهد صحرایی توالی فوق به واحدهای زیر تقسیم می‌شود (شکل ۲).

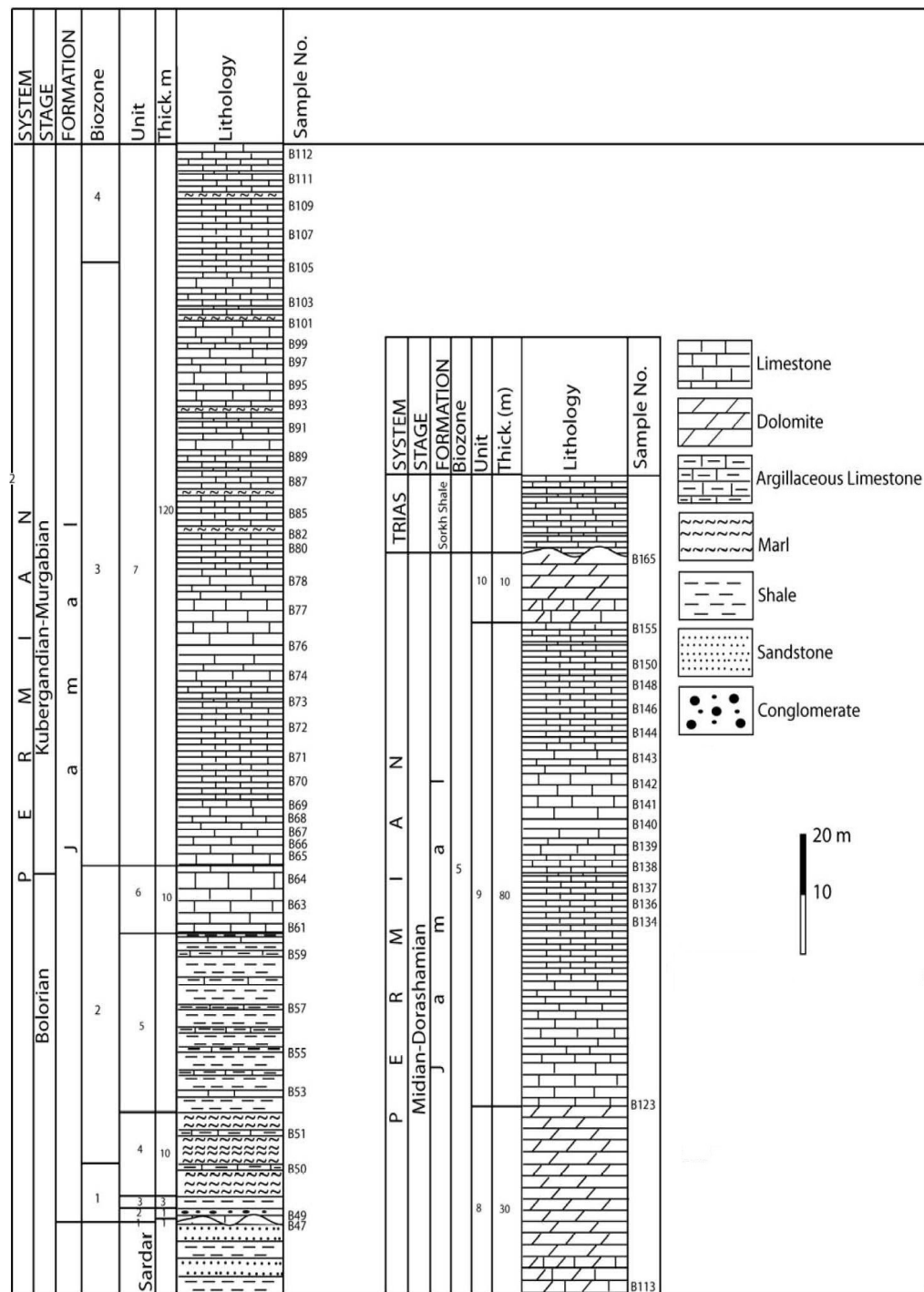
۱- سنگ‌آهک بیوکلاستیک، اینترکلاستیک، خاکستری با لایه‌بندی متقاطع جناغی شکل، به ضخامت  $1$  متر.

۲- کنگلومراتیک آهکی خاکستری، در بخش میانی قرمز رنگ، به ضخامت  $1$  متر.

۳- شیل قرمز به ضخامت  $3$  متر.

در این مطالعه سعی بر آن است محیط رسوبی سنگ‌های کربناته تشکیل‌دهنده سازند جمال بر اساس بررسی‌های سنگ‌شناسی و رخساره‌های میکروسکوپی به دقت مورد بررسی و شناخت قرار گیرد.

- ۹- سنگ‌آهک با لایه‌بندی، خاکستری تیره، حاوی چرت به ضخامت ۷۰ متر.
- ۱۰- دولومیت و سنگ‌آهک دولومیتی، ضخیم‌لایه تا توده‌ای، خاکستری تیره به ضخامت ۱۰ متر.



شکل ۲. ستون چینه‌نگاری سازند جمال در پرش باع ونگ

### میکروfasیس (T<sub>1</sub>): مادستون

متن اصلی این رخساره را میکرایت تشکیل داده و منحصراً درصد کمی از خرد های اسکلتی در آن مشاهده می شود (شکل ۳-الف). فقدان تنوع فونی در رخساره فوق حاکی از عدم شرایط مناسب برای زیست موجودات بوده، بنابراین با توجه به موارد فوق الذکر و موقعیت آن در توالي، محیط تشکیل آن به پنهانه جزو مردمی نسبت داده شده است [۷]. این رخساره معادل میکروfasیس استاندارد ۲۳ فلوگل است [۱۱].

### میکروfasیس (B<sub>1</sub>): بیوکلاسیک گرینستون

دانه های اسکلتی اکینید، بریوزوئر و به مقدار کمتر گاستروپود، دوکفه ای، استراکد در این میکروfasیس دیده می شود. قطعات اسکلتی در سیمانی از کلسیت اسپاریتی قرار گرفته اند (شکل ۳-ب).

### گروه میکروfasیس های لاجون (L-Lagoon)

**میکروfasیس (L): اینتراکلاستیک گرینستون**  
آلوم کم اصلی این رخساره را اینتراکلاست (۵۰ تا ۴۰ درصد) تشکیل می دهد. در بعضی مقاطع نازک از قطعات اسکلتی جلبک های سبز و فرامهای بنتیک مشاهده می شود. اینتراکلاست ها اغلب گرد شده و فضای بین آن ها را سیمان اسپاری پر کرده است (شکل ۴-الف). در برخی نمونه ها بافت به صورت کمی شسته شده مشاهده می شود. حضور اینتراکلاست حاکی از انرژی امواج و جریان ها می باشد. با توجه به فقدان فون های دریایی، حضور فراوان اینتراکلاست و بافت سنگ رخساره فوق در بخش لاجون به سمت ساحل تنشیست پیدا کرده است.

**میکروfasیس (L<sub>2</sub>): بیوکلاستیک و کستون پکستون**  
این رخساره دارای ۴۰ تا ۳۰ درصد دانه های اسکلتی است. دانه های اسکلتی پدید آورند آن دوکفه ای، گاستروپود و به مقدار کم اکینید می باشد. در بعضی مقاطع قطعات اسکلتی دوکفه ای و در بعضی مقاطع دانه های اسکلتی گاستروپد غالب می باشند (شکل ۴-ب و ج). تنوع کم بیوکلاست ها، کامل بودن آن ها و متن میکرایتی نشانگ آرام بودن محیط رسوبی و تشکیل آن در عمق لاجون است. این رخساره معادل میکروfasیس استاندارد ۸ فلوگل است [۱۱].

### مواد و روش ها

مطالعه رسوبات پرمین ناحیه مورد مطالعه در دو مرحله صحرایی و آزمایشگاهی صورت گرفته است. در مطالعات صحرایی بر اساس تغییرات رخساره ای و بافتی مشاهده شده در روی زمین ۱۶۵ نمونه برداشت گردید. از تمامی نمونه های برداشت شده جهت شناسایی رخساره های سنگی و تفسیر محیط رسوب گذاری مقطع نازک تهیه گردید.

مطالعات میکروسکوپی درصد فراوانی دانه های متشکله (اسکلتی و غیر اسکلتی) در کلیه مقاطع نازک با استفاده از چارت های مقایسه ای [۱۲] تعیین گردیده است. بر اساس طبقه بندی کربنات ها به روش دانه ام [۹] سنگ ها نام گذاری گردیدند. با توجه به نوع و میزان فراوانی دانه ها و موقعیت رخساره ها و نیز با استفاده از کارهای ویلسون [۳۸] و فلوگل [۱۲] رخساره های کربناته مشخص و در خاتمه محیط رسوب گذاری تعبیر و تفسیر گردیده است.

### شرح میکروfasیس ها

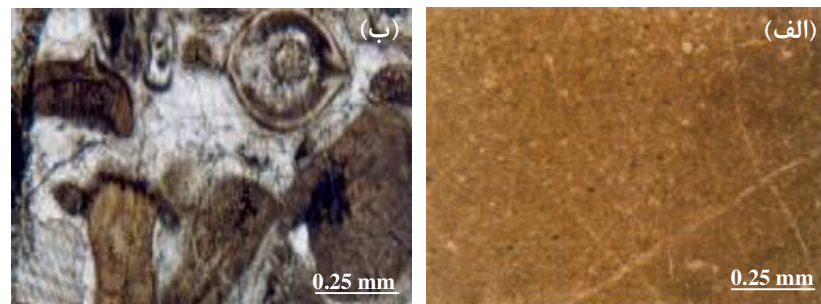
دانه ها و اجزاء موجود در رسوبات ناحیه مورد مطالعه به دو دسته کربناته و آواری تقسیم می شوند. دانه های کربناته به دو دسته اصلی و فرعی تقسیم می شوند. دانه های اصلی از نظر فراوانی درصد بالایی را به خود اختصاص داده و در طبقه بندی میکروfasیس ها نقش اساسی دارند. آن ها شامل اثید، اکینودرم، برکیوپود، جلبک سبز، انکوئید و فوزولیناسه آ می باشند. دانه های غیر کربناته شامل ذرات تخریبی کوارتز می باشد.

تجزیه و تحلیل دقیق پتروگرافی رسوبات منجر به تشخیص چندین گروه میکروfasیس گردیده که بر اساس آن چهار زیر محیط رسوبی تشخیص داده شده است. این زیر محیط ها از طرف خشکی به دریا عبارتند از: زیر محیط پنهانه جزو مردمی / ساحلی، زیر محیط محصور تا نیمه محصور شده لاجون، زیر محیط سد و زیر محیط دریایی باز.

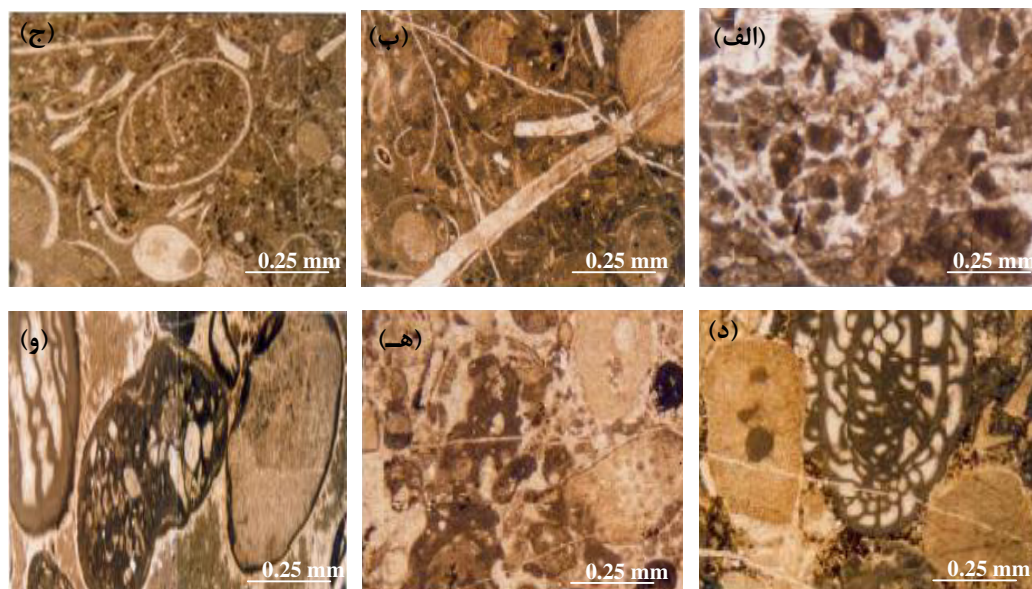
**رخساره های میکروسکوپی برش باگونگ**  
**گروه میکروfasیس های پنهانه جزر و مدی (T-Tidal)**  
**(B-Beach)/ساحل (Flat**

برخی دانه‌ها و تشکیل رگه‌های استیلویلیت شده است. از مشخصات مهم این رخساره اندازه نسبتاً درشت و سالم بودن آلوکم‌ها می‌باشد که حاکی از حمل و نقل کم آن‌ها و کم عمق بودن حوضه رسوبی است. با توجه به بافت سنگ و حضور فوزولیناسه‌آی درشت محیط تشکیل آن حاشیه سد به سمت لاگون در نظر گرفته شده است. این رخساره معادل میکروفاسیس استاندارد ۱۸ فلوگل است [۱۱].

**میکروفاسیس (L<sub>3</sub>):** فوزولیناسه‌آکینید پکستون آلوکم اصلی این رخساره را خرده‌های اسکلتی فوزولیناسه‌آ و اکینید تشکیل می‌دهند. میزان فراوانی آن‌ها ۵۰٪ تا ۶۰٪ بوده و در یک زمینه میکرایتی قرار گرفته‌اند (شکل ۴-۵). در بعضی از نمونه‌ها به دلیل از بین رفتن تخلخل اولیه در اثر فرایند فشردگی دانه‌ها دارای آرایش فشرده هستند. فشردگی در این رخساره سبب به وجود آمدن ساختمان انجالی فشاری، شکسته شدن



شکل ۳. الف: مادستون - پهنه جزر و مدی (T<sub>1</sub>) (نورپلاریزه) ب: بیوکلاستیک گرینستون - ساحل (B<sub>1</sub>) (نورپلاریزه)



شکل ۴. الف: اینتراکلاستیک گرینستون - لاگون (L<sub>1</sub>) (نورپلاریزه) ب: بیوکلاستیک وکستون - پکستون - لاگون (L<sub>2</sub>) (نورپلاریزه) ج: بیوکلاستیک وکستون - پکستون - لاگون (L<sub>3</sub>) (نورپلاریزه) د: فوزولیناسه‌آکینید اینتراکلاستیک پکستون - گرینستون - لاگون (L<sub>4</sub>) (نورپلاریزه) ه: داسی کلاداسه‌آکینید کورالیناسه‌آ گرینستون - لاگون (L<sub>5</sub>) (نورپلاریزه) و: فوزولیناسه‌آکینید اینتراکلاستیک پکستون - گرینستون - لاگون (L<sub>6</sub>) (نورپلاریزه)

توسط سیمان اسپاری پر شده است. شواهد صحرابی (ایه‌بندی ضخیم تا توده‌ای) و قرارگیری آن‌ها بر روی رخساره‌های دریایی باز حاکی از تشکیل آن‌ها در زیر محیط بار یا سد می‌باشد. در بعضی مقاطع نازک بر اثر فرایند فراگیر دولومیتی شدن بافت و آلومینیوم اولیه به خوبی قابل تشخیص نیستند. این رخساره معادل میکروفاسیس استاندارد ۱۳ فلوگل است [۱۱].

#### میکروفاسیس (S<sub>2</sub>): اینترکلاستیک انکوئیدال گرینستون

دانه‌های اصلی تشکیل دهنده این رخساره اینترکلاست و انکوئید می‌باشند. از عناصر آلی فرعی آن می‌توان به فوزولین‌های نسبتاً کوچک اشاره نمود. هسته انکوئیدها، اکینید و قطعات دیگر است. آن‌ها از شکل هسته تبعیت کرده‌اند (شکل ۵-ب). فراوانی اینترکلاست‌ها به میزان ۱۰-۱۵ درصد و انکوئیدها حدوداً ۲۰-۳۰ درصد می‌باشد. به دلیل قرارگیری این رخساره در بالاتر از سطح اساس امواج، فاقد گل بوده و فضای بین دانه‌ها توسط سیمان اسپاری پر شده است. دانه‌های اسکلتی پدید آورند این میکروفاسیس اکینید بربوزوئر و به مقدار کمتر گاستروپد می‌باشد. این رخساره معادل میکروفاسیس استاندارد ۱۳ فلوگل است [۱۱].

**میکروفاسیس (S<sub>3</sub>): ایید گرینستون**  
اییدها آلوم اصلی این رخساره را تشکیل داده و میزان فراوانی آن‌ها تا ۵۵ درصد هم می‌رسد. از آلومینیوم‌های فرعی آن می‌توان به اینترکلاست‌ها و خرده‌های اسکلتی اشاره نمود. اییدها دارای ساختمان متعددالمرکز بوده و از جورشده‌گی نسبتاً بالایی برخوردار هستند (شکل ۵-ج). اندازه آن‌ها بین ۱ تا ۱/۸ میلی‌متر می‌باشد. بین دانه‌های مختلف این میکروفاسیس را سیمان اسپاری درشت تا متوسط بلور پر کرده که حاکی از انرژی بالا در محیط تشکیل است. فراوانی اییدها در این میکروفاسیس نشانگر تشکیل آن در محیط کم عمق، برانزه‌ی و متلاطم پشتنهای اییدی<sup>۱</sup> می‌باشد [۱۲]. این رخساره معادل میکروفاسیس استاندارد ۱۵ فلوگل است [۱۱].

**میکروفاسیس (L<sub>4</sub>): داسی کلاداسه آ گرینستون**  
خرده‌های فسیلی کورالیناسه آ (حدود ۱۵ درصد)، اکینید (۱۲ درصد) و جلبک سبز داسی کلاداسه آ (حدود ۵ تا ۱۰ درصد) از فراوان ترین دانه‌های کربناته این میکروفاسیس هستند (شکل ۴-ه). فرامینی‌فرهای بنتیک و برآکیوپودا عناصر اسکلتی فرعی این رخساره می‌باشند. جورشده‌گی در این رخساره نسبتاً ضعیف می‌باشد. با توجه به مشخصات فوق‌الذکر محیط تشکیل آن را به بخش لاغون مجاور سد نسبت می‌دهیم. این رخساره معادل میکروفاسیس استاندارد ۱۸ فلوگل است [۱۱].

**میکروفاسیس (L<sub>5</sub>): فوزولیناسه آ گرینستون**  
اینترکلاستیک پکستون - گرینستون وجود درصد بالایی از اجزاء غیر اسکلتی به خصوص اینترکلاست معرف این میکروفاسیس می‌باشد. خرده‌های فسیلی فوزولیناسه آ (حدود ۱۰-۱۵ درصد)، اکینید (حدود ۱۵-۲۰ درصد) و اینترکلاست (حدوداً ۲۵ درصد) از فراوان ترین دانه‌های آهکی این رخساره می‌باشند (شکل ۴-و) اندازه دانه‌ها درشت و تا حد سانتی‌متر نیز می‌رسد. اکینودرم‌ها اکثراً توسط سیمان تکسیال احاطه شده‌اند. در بعضی بخش‌ها فضای بین دانه‌ها توسط سیمان پر شده است. اطراف قطعات اسکلتی پوشش میکرایتی مشاهده می‌شود. از مشخصه‌های مهم این رخساره می‌توان به اندازه نسبتاً درشت دانه‌ها اشاره نمود که حاکی از عمق کم و نسبتاً پر انرژی محیط رسوی است. رخساره فوق شبیه به رخساره‌های سد بوده با این تفاوت که بافت آن با شکستگی ضعیف می‌باشد. بنابراین احتمالاً در کنار رخساره سد و به طرف لاغون بر جای گذاشته شده است. این میکروفاسیس در کمربند رخساره‌ای شماره ۶ فلوگل نهشته شده است [۱۱].

#### گروه میکروفاسیس‌های سد (S-Shoal) میکروفاسیس (S<sub>1</sub>): انکوئیدال بیوکلاستیک گرینستون

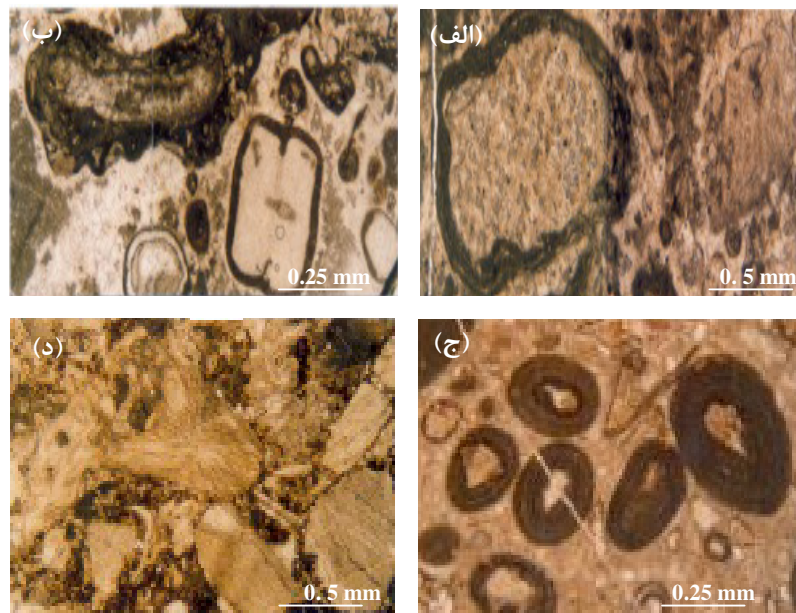
در این رخساره قطعات اسکلتی اکینید، نرمتنان و فرامینی‌فرهای بنتیک به میزان ۲۰ تا ۲۵ درصد وجود دارند. فراوانی انکوئیدها ۱۵ تا ۲۰ درصد بوده و عمدتاً بیضوی شکل می‌باشند (شکل ۵-الف). فضای بین دانه‌ها

<sup>۱</sup> Oolitic Shoal

حضور بریوزوئرها و اکینودرم‌ها و اندازه نسبتاً بزرگ آن‌ها مؤید یک محیط پرانرژی و مرتبط با دریای آزاد می‌باشد. زیرا این موجودات در شرایط درجه شوری نرمال دریا قادر به زندگی می‌باشند [۱۲، ۱۶]. این مشخصات حاکی از تشکیل این رخساره در محیط سد بیوکلاستی است. این رخساره معادل میکروفاسیس استاندارد ۶ فلوگل است [۱۱].

#### میکروفاسیس (S<sub>4</sub>): اکینید بریوزوئر پکستون – گرینستون

در این میکروفاسیس تراکم بالایی از فسیل اکینید و بریوزوئر مشاهده می‌شود. بریوزوئرها اکثراً به صورت کامل مشاهده می‌شوند. آلوکم‌های فوق نسبتاً درشت می‌باشند. در برخی نمونه‌ها به مقدار کم قطعات اینترکلاست نیز یافت می‌شود (شکل ۵-د). بر اثر فرایند فشرده‌گی، دانه‌ها دارای فابریک فشرده و ساختمن استیلولیت می‌باشند.



شکل ۵. الف: انکوئیدال بیوکلاستیک گرینستون - سد (S<sub>1</sub>) (نورپلاریزه) ب: اینترکلاستیک انکوئیدال گرینستون - سد (S<sub>2</sub>) (نورپلاریزه) ج: اکینید گرینستون - سد (S<sub>3</sub>) (نورپلاریزه) د: اکینید بریوزوئر پکستون - گرینستون - سد (S<sub>4</sub>) (نورپلاریزه)

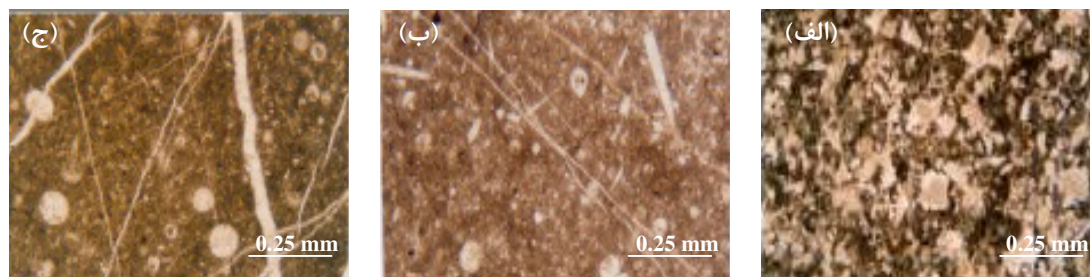
#### میکروفاسیس (O<sub>2</sub>): کلسی سفر اسپیکولوکستون – پکستون

در این میکروفاسیس قطعات اسکلتی کلسی‌سفر و اسپیکول اسفنج در یک زمینه میکرایتی قرار گرفته‌اند. مقدار کلسی سفر ۱۵ درصد و فراوانی اسپیکول اسفنج حدوداً ۲۰ درصد می‌باشد. سوزن اسفنج به شکل میله‌ای و تک محوری نیز وجود دارد که در برخی قسمت‌ها جهت‌یابی از خود نشان می‌دهند (شکل ۶-ج). در بعضی موارد تجمع قطعات اسکلتی باعث ایجاد لامیناسیون شده است. این رخساره معادل میکروفاسیس استاندارد ۱ فلوگل است [۱۱].

#### میکروفاسیس‌های دریای باز گروه (O)

**میکروفاسیس (O<sub>1</sub>): جلبک قرمز اکینید پکستون**  
مقدار فراوانی خرددهای فسیلی اکینید (حدوداً ۳۰٪) و جلبک قرمز (۲۲-۲۵ درصد) تشکیل‌دهنده این میکروفاسیس می‌باشند (شکل ۶-الف). در بعضی نمونه‌ها در اثر فرایند فشرده‌گی دانه‌ها دارای آرایش فشرده می‌باشند. حضور جلبک‌های قرمز و اکینودرم‌ها مؤید یک محیط نسبتاً پرانرژی و کم عمق و نیز دریای آزاد است، زیرا این موجودات در شرایط عادی دریابی قابل زندگی می‌باشند [۱۲ و ۱۶]. این رخساره معادل میکروفاسیس استاندارد ۶ فلوگل است [۱۱].

بر تشکیل آن‌ها در دورترین نقطه نسبت به خط ساحلی می‌باشد. میکروfasیس‌های  $O_1$  تا  $O_3$  در توالی رسوبی در مجاورت یکدیگر قرار گرفته‌اند. در این توالی بر اثر نوسانات تدریجی سطح آب دریا، شاهد تغییر در نوع آلوکم‌ها و بافت رسوبات خواهیم بود و بر این اساس زیر محیط‌های مختلف رسوبی دریایی باز از یکدیگر تفکیک گردیده‌اند. در این رخساره‌ها اندازه و فراوانی دانه‌ها به ترتیب از  $O_1$  تا  $O_3$  به طور تدریجی کاهش پیدا می‌کند. این رخساره معادل میکروfasیس استاندارد ۱ فلوگل است [۱۱].



شکل ۶. الف: جلیک قرمز اکینید پکستون- دریای باز ( $O_1$ ) (نور طبیعی) ب: کلسی سفر اسپیکول وکستون- پکستون- دریای باز ( $O_2$ ) (نور پلاریزه) ج: کلسی سفر رادیول وکستون- پکستون- دریای باز ( $O_3$ ) (نور پلاریزه)

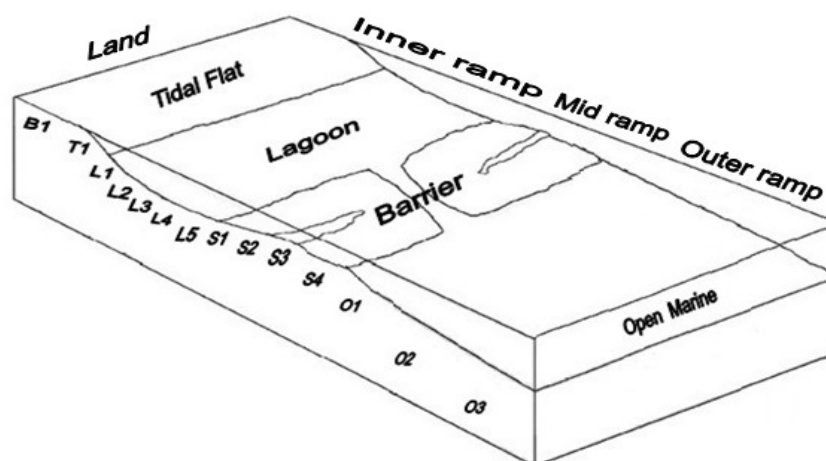
گردیده است. با توجه به تعاریفی که برای انواع پلاتفرم‌ها به عمل آمده است و با توجه به نوع رخساره‌ها و گسترش آن‌ها مدل رسوبی ارائه شده شبیه به یک سکو کربناته می‌باشد. سکوهای کربناته محیط‌های رسوب‌گذاری خاصی هستند که با شیب خیلی ملایم منطقه ساحلی را به آبهای عمیق (بدون شکستگی مشخص در دامنه) منتهی می‌کند [۸ و ۲۵] (شکل ۷).

### میکروfasیس( $O_3$ ): کلسی سفر رادیول وکستون - پکستون

اجزاء اسکلتی اصلی این رخساره کلسی‌سفر و رادیول می‌باشند. میزان فراوانی آن‌ها ۳۰-۴۰ درصد است. درصد کمی از سوزن اسفنج نیز در آن وجود دارد. رادیول‌ها اکثرا تحت تأثیر پدیده کلسیتی شدن قرار گرفته‌اند. کلسی‌سفرها کروی شکل و میانگین قطر آن‌ها ۵ تا ۱۰۰ میکرون می‌باشد (شکل ۶-۶). همچنین وجود ذرات در اندازه سیلت و نیز لایه‌بندی متوسط با باندهای چرتی که در صحراء به صورت کلسی لوتاپیت رخمنوی دارند، تأییدی

### مدل و محیط رسوبی

با مطالعه مقاطع نازک و تعیین میکروfasیس‌ها و با توجه به قانون والتر [۲۴] که رخساره‌های موجود در یک توالی عمودی در یک زمان واحد به طور جانی در کنار یکدیگر قرار داشته‌اند و نیز مقایسه توالی عمودی موجود در رسوبات کربناته ناحیه مورد مطالعه با محیط‌های امروزی [۳۴] و مدل‌های ارائه شده توسط [۳۸، ۳۲، ۲۵، ۱۹، ۱۴، ۱۲، ۱۱، ۱۰، ۸] مدل رسوبی ارائه



شکل ۷. مدل رسوبی سازند جمال در برش باگونگ

زیر محیط لاغون به دلیل تشکیل سدهای بیوکلاستی و ائیدی دارای انرژی کمی بوده و بر اثر چرخش محدود آب شوری آن افزایش می‌یابد. بنابراین تنوع گونه‌ها در این منطقه کم و تنها فون‌های محدودی که با این شرایط سازگاری دارند فراوان می‌شوند. با وجود این منطقه را از لحاظ عملکرد انرژی می‌توان به دو قسمت آرام و متلاطم تقسیم نمود. این نتیجه‌گیری بر اساس رخساره‌های بر جای مانده حاصل شده است. بخش نزدیک به سد این منطقه و قسمت نزدیک به ساحل آن نسبت به بخش مرکزی و عمیق‌تر آن متلاطم‌تر بوده و رسوبات تشکیل شده در آن‌ها فابریک دانه‌پشتیبان<sup>۱</sup> دارند. این زیر محیط با رخساره‌های  $L_1$  تا  $L_5$  مشخص می‌شود. رخساره  $L_5$  دارای قطعات اسکلتی درشت نظیر رخساره  $S$  است، با این تفاوت که در بعضی مقاطع دارای گل کربناته می‌باشد. بنابراین با توجه به تشابه در نوع ذرات تشکیل‌دهنده این رخساره به احتمال زیاد در کنار رخساره قبلی و به طرف خشکی بر جای گذاشته شده است. حضور داسی کلاداسه نیز تاییدی بر این امر می‌باشد. بنابراین محیط تشکیل آن‌ها به حاشیه سد به سمت لاغون نسبت داده شده است.

### توالی‌های رسوبی برش باغ و نگ

در این بخش تعریف مختصری از چینه‌نگاری توالی ارائه می‌گردد. مفاهیم جزیی، توصیف‌های کامل و مثال‌ها توسط [۳۰ و ۱۵، ۳۷] شرح داده شده است.

یک توالی رسوبی شامل چینه‌های مرتبط با هم از نظر ژنتیکی می‌باشد که مرز بالا و پایین آن توسط ناپیوستگی<sup>۲</sup> و یا پیوستگی همارز<sup>۳</sup> محدود شده و بر اثر بالا و پایین آمدن سطح نسبی آب دریا ایجاد شده‌اند [۳۶ و ۳۷]. یک توالی از نظر زمانی معادل چرخه رسوبی رده سوم<sup>۴</sup> است که از تعدادی فراوان چرخه‌های کم عمق شونده کوچک مقیاس یا پاراسکانس<sup>۵</sup> تشکیل شده است. بسته به مکان قرارگیری و نوع الگوی قرارگیری پاراسکانس‌ها، هر توالی رسوبی به سه دسته رسوبی<sup>۶</sup> قابل تقسیم است. هر دسته رسوبی به قسمت مشخصی از

رخساره‌های  $O_2$  و  $O_3$  که دارای مقادیر زیادی از خرددهای اسکلتی کلسی‌سفر، سوزن اسفنج و رادیولر هستند، به دلیل نوع خرددهای اسکلتی [۱۶ و ۱۲]<sup>۷</sup> و نیز مقادیر زیادی گل کربناته در عمیق‌ترین قسمت حوضه رسوبی (انرژی کم و نرخ رسوب‌گذاری پایین) تشکیل شده‌اند. شواهد صحرایی از قبیل لایه‌بندی نازک تا متوسط و حضور باندهای چرتی نشانگر شرایط تشکیل آن‌ها در مناطق عمیق می‌باشد. در رخساره  $O_1$  تدریجاً اندازه و درصد ذرات تشکیل‌دهنده نظیر خرددهای اسکلتی افزایش پیدا می‌کند.

در یک روند کلی کاهش مقدار رادیولر، اسپیکول اسفنج و کلسی‌سفر و افزایش درصد خرددهای اسکلتی بنتیک مانند اکینید، حاکی از کاهش عمق آب می‌باشد. حضور گل در رخساره‌های اشاره شده نشانگر آن‌ها در زیر نزدیکی خط امواج می‌باشد.

بنابراین با توجه به نوع آلوكم‌ها و ماتریکس فراوانی که در این رخساره‌ها وجود دارد، می‌توان تشکیل رخساره‌های  $O_1$  تا  $O_3$  را به یک محیط کم انرژی و دور از ساحل نسبت داد [۲۵، ۱۲ و ۳۴]. موقعیت تشکیل این رخساره‌ها در این زیر محیط رسوبی را می‌توان با در نظر گرفتن درصد و اندازه ذرات و نوع آلوكم به این ترتیب در نظر گرفت که ریزترین رخساره با کلسی‌سفر و سوزن اسفنج در عمیق‌ترین و رخساره  $O_1$  با حضور اکینید در فاصله نسبتاً نزدیک‌تری به ساحل و در زیر خط اثر امواج بر جای گذاشته شده‌اند.

در رخساره سد (رخساره‌های گروه S) میزان خرددهای اسکلتی و اندازه دانه‌ها افزایش یافته است. مقدار گل آهکی کاملاً کاهش یافته و سیمان اسپاری جایگزین آن شده است. وجود سیمان اسپاری نشانگر تهنشست این رسوبات در محدوده خط اثر امواج می‌باشد. در چنین شرایطی در اثر افزایش انرژی گل کربناته از محیط شسته شده و فضای خالی توسط سیمان پر شده است. وجود موجودات استتوهالین نظیر اکنیودرم کورالیناسه، نیز نشانگر آن است که این زیر محیط کاملاً با دریای باز در ارتباط بوده است [۱۶]. این رخساره در روی زمین با لایه‌بندی ضخیم تا توده‌ای مشخص و بر اثر پدیده دولومیتی شدن در بعضی قسمت‌ها به آهک دولومیتی تبدیل شده است. این رخساره پرانرژی‌ترین رخساره سازند جمال در منطقه مورد مطالعه است.

<sup>1</sup> Grainsupported

<sup>2</sup> Unconformity

<sup>3</sup> Correlative conformity

<sup>4</sup> Third-order

<sup>5</sup> Parasequence

<sup>6</sup> System Tract

چندین رخساره کریناته در بیشتر این توالی‌ها قابل تشخیص می‌باشد. این رخساره‌ها تحت عنوان CatchUp و StartUp و KeepUp نام‌گذاری شده‌اند [۲۸].

بر اساس مطالعه توالی‌ها در آمریکای شمالی و روسیه [۲۶ و ۲۷]، توالی رسوبی پرمین را تحت عنوان سوپر سیکل (Second order cycles) Transpecos کرده است. منحنی یوستاتیک ترسیم شده به وسیله [۱۷] بر اساس تجزیه و تحلیل ۶۸ حوضه رسوبی نشانگر سه پسروی اصلی در آرتینسکین پسین، انتهای گوادالوپین و انتهای تاتارین می‌باشد. در هر دو منحنی [۱۸] بر اساس تجزیه و تحلیل ۶۸ حوضه رسوبی نشانگر سطح آب دریا از ابتدای پرمین در حال پایین آمدن تدریجی بوده و در انتهای پرمین به پایین‌ترین حد خود می‌رسد.

تکتونیک جهانی نیز در تغییرات سطح آب دریا در پرمین نقش مهمی داشته است به نحوی که برخورد تدریجی Mongolian و Uralian طی کانگورین تا گوادالوپین منجر به بالا آمدن قاره‌ها در نیمکره شمالی و پسروی آب دریا، در حالی که باز شدگی و ریفتینگ در اطراف حاشیه شمالی گندوانا، سبب پیشروی در قاره‌های نیمکره جنوبی از گوادالوپین پسین تا لوپینگین شده است [۱۸].

پائین آمدن سطح آب دریا که در نزدیکی انتهای پرمین پیشین شروع شده در انتهای پرمین به حدآکثر مقدار خود می‌رسد. این سیکل بزرگ رسوبی شامل سیکل‌های کوچک‌تر پیشروی – پسروی با پریود ۱-۴ میلیون سال است که میانگین آن‌ها ۲/۵ سال می‌باشد [۲۶]. پسروی در نزدیکی مرز پرمین – تریاس به پائین‌ترین حد خود می‌رسد که شاید پائین‌ترین حد سطح آب دریا در فلوروزوئیک باشد. پائین آمدن سطح آب دریا در حدود ۲۱۰ متر [۱۳] تا ۲۸۰ متر [۱۷] می‌باشد. در طی تریاس پیشین پیشروی آب دریا سبب بالا آمدن آب دریا در حدود ۲۲۰ متر شده است.

از پرمین پیشین تا مرز پرمین – تریاس شاهد یک کاهش ناگهانی در درصد قاره‌ایی که به وسیله دریاهای کم عمق پوشیده شده‌اند، می‌باشیم. در پرمین پیشین ۴۳٪ و در مرز ۱۳٪ قاره‌ها زیر پوشش دریاهای کم عمق بوده‌اند [۳۱] با پیشروی سریع در تریاس پیشین این مقدار به ۳۴٪ می‌رسد.

این پسروی باید فرسایشی مشخصی در مقاطع چینه‌شناسی از خود نشان دهد ولی منحصرًا علائمی از

تغییرات سطح آب دریا مربوط می‌باشد. هر دسته رسوبی بر اساس مکان قرارگیری درون یک توالی، نوع سطح محدود کننده و شکل هندسی چینه‌ها تعریف می‌گردد [۳۷].

دسته رسوبی قاعده‌ای یک توالی<sup>۷</sup> است که در زمان پایین بودن سطح آب دریا تشکیل می‌شود. بخش میانی، دسته رسوبی پیش‌رونده (TST) می‌باشد که از پاراسکانس‌های پیش‌رونده ساخته شده است. مرز این دسته رسوبی با دسته رخساره‌ای LST سطح پیشروی (MFS) است. مرز بالای آن سطح بیشترین پیشروی، سکون نسبی رسوبی بالایی در زمان بیشترین پیشروی، سکون نسبی و یا آغاز پایین آمدن سطح آب دریا مربوط می‌شود. این بخش تحت عنوان HST نام‌گذاری شده است. رخساره‌های بخش بالایی آن سطح ساحلی، محیط‌های حد واسط و یا محیط‌های قاره‌ای است. مرز زیرین دسته رسوبی HST سطح بیشترین پیشروی و سطح بالایی آن مرز توالی (SB) است.

دو نوع ناپیوستگی در مرز توالی‌ها قابل تشخیص است. ناپیوستگی نوع ۱ (SB1)<sup>۸</sup> که با پسروی سریع، فرسایش و حرکت جانبی رخساره‌ها به سوی حوضه مشخص می‌گردد. این نوع ناپیوستگی زمانی پدید می‌آید که پایین آمدن سطح آب دریا بیش از فرونشینی حوضه در حاشه فلات قاره باشد. ناپیوستگی نوع ۲ (SB2)<sup>۹</sup>، زمانی به وجود می‌آید که پایین آمدن سطح آب دریا کند باشد و سطح آب تا بخش میانی فلات قاره یا نزدیک انتهای آن پایین می‌آید.

توالی‌های رسوبی رده سوم پالنوزوئیک پسین، در یک پلاتفرم کریناته بر اثر نوسانات آب دریا به مقدار ۶۰ تا ۱۰۰ متر، در فاصله زمانی یک میلیون سال به وجود آمده‌اند [۲۶ و ۲۷]. در توالی لیتلولژیکی یک توالی رسوبی تشکیل شده در شلف خارجی یا میانی نشان داده شده است. طی بالا آمدن سطح آب دریا شلف غوطه‌ور شده و رسوبات دریایی تنهشت پیدا می‌کنند. در این توالی‌های رسوبی دسته رسوبی HST مشخص‌ترین رخساره رسوبی بوده و عموماً کم عمق شونده به سمت بالا می‌باشد.

<sup>7</sup> Low Stand Seestem Tract

<sup>8</sup> Type 1 Unconformity

<sup>9</sup> Type 2 Unconformity

مشاهده می‌شود. رخساره میکروسکوپی آن به صورت بیولاستیک گرینستون بوده و حاکی از تشکیل آن در زیر محیط ساحلی می‌باشد. بر روی این بخش ۲۰ متر مارن با بین لایه‌هایی از آهک قرار گرفته و متتشکل از رخساره‌های بیولاستیک وکستون/پکستون و بیولاستیک پکستون/گرینستون با فون‌های دریای محدود شده می‌باشد. این رخساره‌ها در زیر محیط لاگون نهشته شده‌اند. واحد بعدی به ضخامت ۱۵ متر و متتشکل از تناوب مارن و آهک می‌باشد. رخساره‌های میکروسکوپی آن متتشکل از بیولاستیک پکستون-گرینستون و بیولاستیک-اینترالاستیک گرینستون می‌باشد. این توالی در روند خود نشانگر تغییر محیط از لاگون به ماسه‌های شسته شده حاشیه پلاتفرم می‌باشند. بنابراین واحدهای اشاره شده تشکیل دسته رسوبی پیشرونده TST را می‌دهند [۳۵]. در این حالت سرعت بالا آمدن آب دریا سریع‌تر از نسبت رسوب‌گذاری است اما آنقدر سریع نیست که سبب غرق شدگی پلاتفرم گردد. آخرین واحد توالی اول به ضخامت ۱۵ متر بوده و متتشکل از رخساره‌های لاگون با فون‌های دریای محدود شده و رخساره پهنه جزرومی (مادستون) می‌باشد. این بخش دسته رسوبی HST را تشکیل می‌دهد. سطح بیشترین پیشروی (MFS) در صحرا با سنگ آهک مارنی غنی از فوزولیناسه، برآکیوپود، آمونوئید، مرجان، گاستروپد و کرینوئید مشخص می‌گردد.

بر روی رخساره‌های پیشرونده توالی، رخساره‌های توالی رسوبی (کلسی‌سفر- رادیولر مادستون/ وکستون) قرار می‌گیرند. لایه‌های تشکیل دهنده آن‌ها نازک تا متوسط لایه با باندهای چرتی می‌باشد. این بخش به ضخامت ۸۰ متر بوده و دسته رخساره‌های پیشرونده TST را می‌سازد. این دسته رسوبی از چندین پاراسکانس تشکیل شده است. هر پاراسکانس ضخیم شونده و کم عمق شونده به سمت بالا می‌باشد. در بیش‌تر آن‌ها رخساره‌های دریای باز (Basin) توسط وکستون و پکستون‌هایی با فون‌های پلازیک و بنتیک پوشیده می‌شوند. این پاراسکانس‌ها در بخش خارجی سکو تشکیل شده و به وسیله رخساره‌های گرینستون کم عمق یا رخساره‌های خارج شده از آب پوشیده نشده‌اند. بنابراین هر کدام از آن‌ها نشانگر Progradation بخش میانی سکو به آبهای عمیق‌تر می‌باشند. بر روی دسته رسوبی فوق سنگ آهک و سنگ

عدم رسوب‌گذاری در مرز وجود دارد. به طور کلی یک پسروی کلی در طی پرمین پیشین شروع شده که همراه با پیشروی و پسروی کوتاه مدت (سیکل سوم) بوده است. بنابراین پسروی پرمین میانی - پسین شامل دو بخش می‌باشد. یک پسروی تدریجی در طی حداقل ۱۰ میلیون سال یا بیش‌تر و یک پائین آمدن ناگهانی سطح آب دریا در حدود ۱۰۰ متر در ۲ میلیون سال یا کمتر. سری کربناته پرمین حوضه طبس همانند نواحی همچوار و سایر نقاط ایران بر روی واحدهای زیرین به طور پیشرونده قرار می‌گیرد. سطح تماس این واحد پیشرونده توسط یک هیاتوس با واحد تخریبی زیرین مشخص می‌شود. پیشروی در بلورین شروع می‌شود. این پیشروی در جنوب شرقی تامیر، جنوب چین، ژاپن و قفقاز نیز مشاهده می‌شود [۲۱].

بیشینه پیشروی در کویرگاندین رخ داده است. بنابراین رسوبات پرمین میانی - بالایی قفقاز، ایران و جنوب ترکیه متعلق به یک پلاتفرم کربناته واحد هستند. تغییر مشخصی در رسوب‌گذاری در همه نواحی فوق‌الذکر در مرز بین سری گوادالوبین و لوپنیگین مشاهده می‌شود. در طی گوادالوبین رسوب‌گذاری با تجمع وسیعی از سنگ‌آهک‌های کم عمق که محتوى جلبک و موجودات بنتیک است مشخص می‌شود، در حالی که در سری Lopingian میکرایت و کربناتهای رسی رسوب‌گذاری غالب بوده‌اند. این تغییرات در تحولات زیستی نیز مؤثر بوده و طی آن فوزولینیدهای بزرگ، گونیاتیت‌ها و آگونیاتیت‌ها، مرجان‌های تابوله و... منقرض می‌شوند.

### چینه‌نگاری توالی برش باعونگ

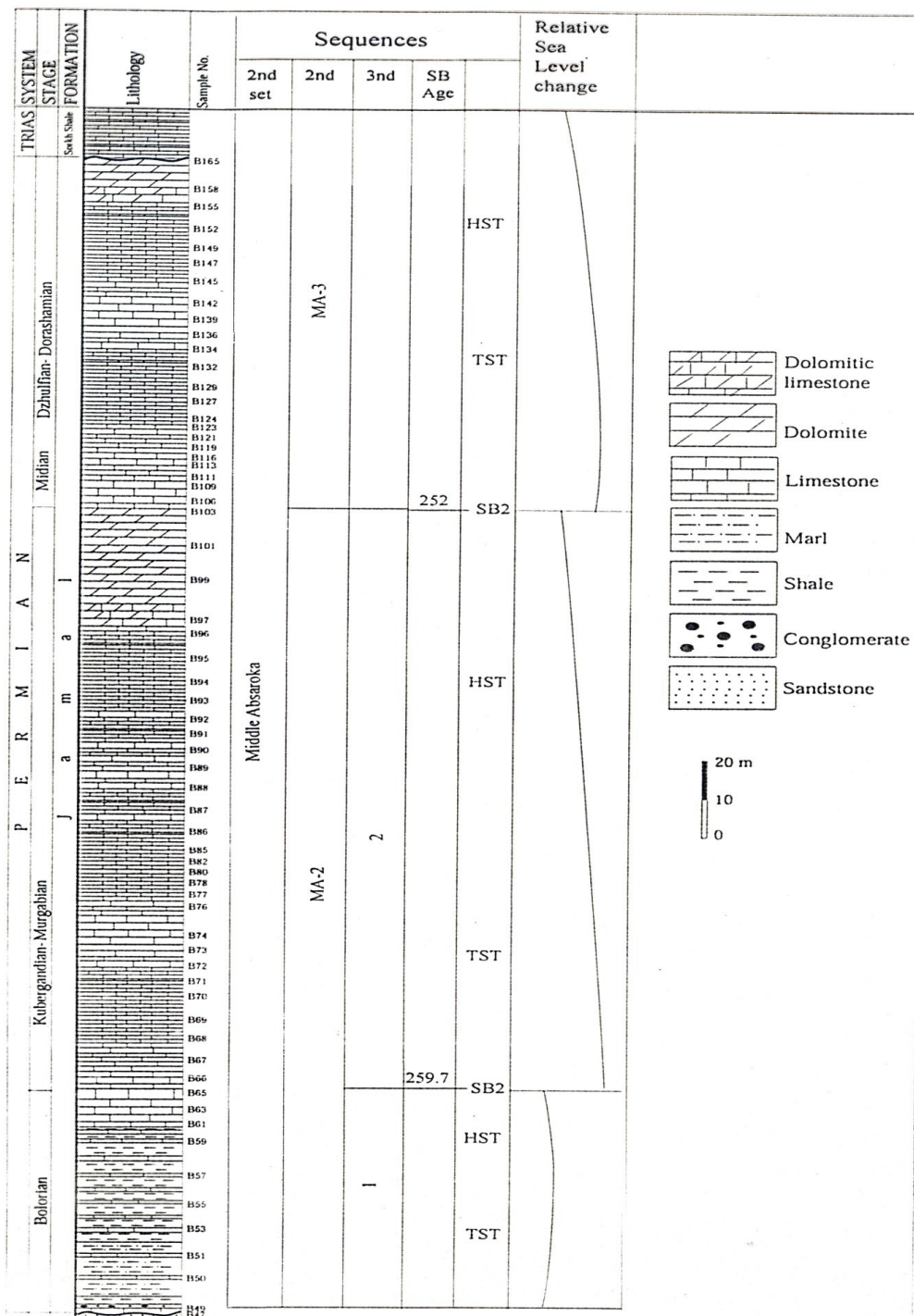
توالی‌های رسوبی مورد مطالعه قابل تفکیک به توالی‌های رسوبی دسته دوم و سوم می‌باشند که در سیکل‌های بزرگ آبساروکای زیرین و میانی جای می‌گیرند [۲۸]. در برش باعونگ رسوبات به سن بلورین تا دورا شامین بوده و شامل یک توالی رسوبی دسته دوم و دو توالی رسوبی دسته سوم به شرح زیر می‌باشد.

### توالی رسوبی اول

این توالی به سن بلورین بوده و ۵۸ متر قاعده‌ای توالی را در بر می‌گیرد. در قاعده توالی ۴ متر آهک ضخیم تا متوسط لایه فسیل‌دار با لایه‌بندی‌های جناغی شکل

HST را تشکیل می‌دهند. در گذر از رخساره TST به HST در پاراسکانس‌ها رخساره آب‌های کم‌عمق (بخش بالایی دامنه) ظاهر و در نهایت به رخساره‌های گرینستون حاشیه پلاتفرم ختم می‌شود.

آهک دولومیتی ضخیم تا متوسط لایه به ضخامت ۷۰ متر قرار گرفته و از رخساره‌های اکینید پکستون/گرینستون، بایوکلاستیک گرینستون و انکوئید گرینستون تشکیل شده است. این رخساره‌ها نشانگر زیر محیط بخش بالایی دامنه و حاشیه پلاتفرم می‌باشند. آن‌ها دسته رسوبی



شکل ۸. توالی‌های رسوبی نهشت‌های پرمین سازند جمال در برش باع ونگ

سنگ‌های سازند جمال و مقایسه آن با محیط‌های رسوبی امروزی نشان می‌دهد که محیط رسوب‌گذاری سازند جمال با محیط‌های کربناته امروزی جنوب خلیج فارس قابل مقایسه است. همچنین توالی‌های رسوبی برش باغ ونگ شامل یک توالی رسوبی دسته دوم و دو توالی رسوبی دسته سوم به سن بلورین تا دورا شامین می‌باشد.

#### منابع

- [۱] آقاباتی، س، ع (۱۳۸۳) زمین‌شناسی ایران، سازمان زمین‌شناسی و اکتشافات معدنی کشور، چاپ اول.
- [۲] پرتوآذر، ح (۱۳۷۴) سیستم پرمین در ایران، سازمان زمین‌شناسی کشور، ۴۰۳۴ص.
- [۳] طاهری، ع و وزیری مقدم، ح (۱۳۸۷) بررسی فوزولیناسه-آی بلوك طبس و اهمیت آن‌ها در تفسیر جغرافیا و آب و هوای گذشته قاره سیمری، مجله علوم دانشگاه تهران، جلد سی و چهار، شماره ۱، صفحات (۱۲۳-۱۳۰)
- [۴] عارفی‌فرد، س (۱۳۸۵) مطالعه میکروبی و استراتیگرافی، میکروفاسیس و ژئوشیمی رسوبات پرمین در منطقه کلمرد، شتری و شیرگشت (ایران مرکزی)، پایان‌نامه دکتری، دانشگاه شهری بهشتی تهران، ۲۰۲۰ص.
- [۵] یار احمد زهی، ح وارنست، الف (۱۳۸۷) مطالعه بریوزوثرهای بخش زیرین سازند جمال در منطقه بزمان (برش سراب)، فصلنامه زمین‌شناسی کاربردی، شماره ۴، صفحات ۳۱۳-۳۰۹.
- [۶] Arefifard, S. & Davydov, V. I (2004) Permian in Kalmard, Shotori and Shirgesht areas, eastern-central Iran, Permian phils, (44): 28-32.
- [۷] Briand, C., Izart, A., Vaslet, D., Makhlina, N., Isakova, T., Kossovaya, O. and Jaroshenko, A (1998) Stratigraphy and sequence stratigraphy of Moscovian, kasimovian and Gzhelian in the Moscow Basin. Bull. Soc. Geol. France, t. 169, no.1, pp. 35-52.
- [۸] Burchette, T. P. and Wright, V. P (1992) Carbonate ramp depositional systems, Sed. Geol., No. 79, pp. 3-57.
- [۹] Dunham, R. J (1962) Classification of carbonate rocks according to depositional texture, In: W. E., Ham, (eds), Classification of carbonate rocks, a Symposium, Tulsa, Okla., Am. Assoc. Petrol. Geol., Mem. 1, pp. 108-121.
- [۱۰] Einsele G (2000) Sedimentary basins: evolution, Facies, and Sediment budget. Springer. 792 p.
- [۱۱] Flügel, E (2004) Microfacies analysis of limestones, analysis interpretation and application: Berlin, Springer-Verlag, 976 pp.

#### توالی رسوبی دوم

این توالی به سن کوبرگاندین-میدین می‌باشد. مرزهای زیرین و بالایی این توالی با ناپیوستگی نوع ۲(SB2) مشخص می‌گردد.

#### توالی رسوبی سوم

این توالی به ضخامت ۹۰ متر بوده و به سن جلفین-دوراشامین می‌باشد. این توالی همانند توالی قبلی با رخسارهای دریایی باز که مشتمل از چندین پاراسکانس می‌باشند، شروع می‌شود. این بخش دسته رسوبی پیشرونده را تشکیل می‌دهند.

با سکون نسبی و پایین آمدن تدریجی آب دریا رخسارهای حاشیه شلف که به صورت سنگ‌آهک دولومیتی و دولومیت ضخیم تا متوسط لایه هستند ظاهر شده و در نهایت با کم‌عمق شدگی بیشتر به رخسارهای لاغون و پنهان جزو مردمی تبدیل می‌گردد. این توالی با ناپیوستگی نوع SB2 از توالی زیرین جدا شده و با مرز پیوسته (SB2) در زیر سازند سرخ شیل پایان می‌پذیرد. (شکل ۸)

#### نتیجه‌گیری

سنگ‌های پرمین برش باغ ونگ به سن بلورین-دوراشامین در یک محیط دریایی کم عمق نهشته شده‌اند. این برش از کامل‌ترین برش‌های سازند جمال در ایران است و در ارتباط با توالی استراتیگرافی و نیز محیط رسوبی این سازند مطالعه زیادی صورت نگرفته است. در تهنشست رسوبات کربناته در منطقه مطالعه فاکتورهایی نظیر عرض جغرافیایی، تغییرات جهانی سطح آب دریا، عمق محیط رسوب‌گذاری، درجه حرارت و مقدار مواد تخریبی وارد شده به حوضه موثر بوده است. مطالعات پتروگرافی نشانگر این است که این سنگ‌ها را می‌توان به ۱۳ میکروفاسیس آهکی تقسیم کرد. تلفیق و نتایج حاصل از مطالعات میکروسکوپی و شواهد صحرایی مشخص کرده است که میکروفاسیس‌های آهکی فوق در چهار زیر محیط: ساحل، لاغون، سد و دریایی باز نهشته شده‌اند. تغییرات عمودی و جانی و تدریجی نهشته‌های سازند جمال و نیز فقدان ریف‌های ممتد و پیوسته و عدم رسوبات حاصل از جریانات توربیدیات و نیز شیب ملایم بیانگر رسوب‌گذاری آن‌ها در یک پلاتفرم کربناته از نوع سکو هموکلینال است. بررسی رخسارهای و محیط رسوبی

- [24] Middleton, G. V (1973) Johanns, Walther's law of the correlation of facies. *Geol. Soc. Am. Bull.*, V. 84, No.3, pp. 979-988.
- [25] Read, J. F., (1985), Carbonate platform facies models. *Am. Assoc. Petrol. Geol. Bull.*, V.69, No.1, pp.1-21.
- [26] Ross, C.A. and Ross, J.R.P (1987) Late Paleozoic sea level and depositional sequences. Cushman Foundation for Foraminiferal Research, Spec.pub.24, 137-149.
- [27] Ross C. A, Ross J R P (1988) Late Palaeozoic transgressive-regressive deposition. In Wilgus C K et al., eds., Sea level changes: an integrated approach. Society of Economic Palaeontologists an Mineralogists, Special Publication 42: 227-247.
- [28] Ross C. A. and Ross R. P (1995) Permian Sequence Stratigraphy. In Scholle P A, Peryt T M, Ulmer- Scholle D S, eds., The Permian of Northern Pangea Volume 1: Palaeogeography, Palaeoclimates, Stratigrphy. Springer-Verlag: 98-123.
- [29] Ruttner, A., Nabavi, M., Hajian, J (1968) Geology of the Shirgesht area (Tabas area, East Iran). *Geol. Surv. Iran, Rep.* 4, pp. 4-133, Tehran.
- [30] Sarg J.F (1988) Carbonate sequence stratigraphy. In: Wilgus C. K. Hastings B. S., Kendall C. G. St. C., Posamentier H. W., Ross, C. A., Van Waggoner J. C. (Eds). Sea-Level Changes: An Integrated Approach. Soc.Econ. Paleontol Mineral, Spec. Publ. 42:15-181.
- [31] Schopf, T. J,T. J. M (1974) permo-Triassic extinctions: relation to sea-floor spreading. *Journal of geology* , V 101, P. 279 – 294.
- [32] Sellwood B.W (1996) Shallow marine carbonate environments In: H.G., Reading (Ed.), Sedimentary Environment ProcessesFacies and Stratigraphy. Blackwells Science. Oxford. 688 p.
- [33] Stocklin, J., Eftekhar-nezhad J., Hushmandzadeh A (1965) Geology of the Shotori Range (Tabas area, East Iran). *Geol. Surv. Iran, Rep.* 3, pp.1-69.
- [34] Tucker, M.E., & Wright, V.P (1990) Carbonate sedimentology. Blackwells, Oxford. 260p.
- [35] Tucker, M. E., Calvet, F. and Hunt, D (1993) Sequence stratigraphy of carbonate ramps: system tracts, models and application to the Muschelkalk carbonate platforms of eastern spain. In: Postamier, H. W., Summerhayes, C. P., Haq, B. U. and Allen, G. P., Eds., Sequence stratigraphy and facies associations, 397–415., International Association of Sedimentologists, Special Publication, 18
- [12] Flugel, E (1982) Microfacies analysis of limestone: Springer-Verlag, Berlin, 633p.
- [13] Folk, R. L (1962) Spectral subdivision of limestone type. In: W. E. Ham (eds.), Classification of carbonate rock, Tulsa, Okla. Assoc. Petrol. Geol., Mem. 1, pp. 62-84.
- [14] Geel, T (2000) Recognition of stratigraphic sequence in carbonate platform and slope: empirical models based on microfacies analysis of paloogene deposits in southeastern Spain. *Palaeogeog. Palaeoclimatol. Palaeoecol.* 155: 211-238.
- [15] Haq, B.U., J. Hardenbol and P.R. Vail (1988) Mesozoic and Cenozoic chronostratigraphy and cycles of sea-level change. Society of Economic Paleontologists and Mineralogists, v. 42, p. 71-108.
- [16] Heckel, P. H (1972) Recognition of ancient shallow marine environment, In: J. K., Rigby and K., Hamblin (eds.), Recognition of ancient sedimentary environment, S. E. P. M, Special Publication V. 16, pp. 226-286.
- [17] Holser W T, Magaritz M (1987) Events near the Permian-Triassic boundary. *Modern Geology* 11 (2): 155-180.
- [18] Jin Yugan, Cao Changqun (2000) On stratigraphic classification and studies of non-stratified rocks. *ActaStratigraphicaSinica*, supppermental volume, 26-30.
- [19] Lasemi,Y., and Carozzi, A.V (1981) Carbonate microfacies and depositional environments of the Kinkaid Formation (Upper Mississippian) of the Illinois basin, USA, VIII Congreso Geologico Actas, 11: pp. 357-384.
- [20] Lasemi, Y (1980) Carbonate microfacies and depositional environments of the Kinkaid Formation (Upper Mississippian) of the Illinois basin. PhD thesis, University of Illinois.U.S.A.
- [21] Leven, E.J (1997) Permian stratigraphy and Fusulinida of Afghanistan with their paleogeographic and paleotectonic implications. *Geological Society of America Special Papers* 316, 1–134.
- [22] Leven, E. Ja. & Taheri, A (2003), “Carboniferous-Permian stratigraphy and fusulinids of east Iran, Gzhelian and Asselian deposits of the Uzbek -Kuh region”, *Rivista Italiana di Paleontologica e Stratigrafia*, Vol. 109 (3): 499-515.
- [23] Leven, E., Ja. & Vaziri, H (2004) “Carboniferous-Permian stratigraphy and fusulinids of eastern Iran, the Permian in the Bagh-e-Vang section (Shirgesht area)”, *Rivista Italiana di Paleontologica e Stratigrafia*, Vol. 110 (2): 441-465.

- [36] Vail, P.R., R.M. Mitchum Jr. and S. Thompson III (1977) Seismic stratigraphy and global changes in sea level. Part 4: Global cycles of relative changes of sea level. American Association of Petroleum Geologists Memoirs, v.26, p. 83-97.
- [37] Van Wagoner, J.C., Posamentier, H.W., Mitchum, R.M., Vail, P.R., Sarg, J.F., Loutit, T.S., Hardenbol, J (1988) An overview of Sequence Stratigraphy and key definitions. SEPM. Spec. Publ. 42: 39-45.
- [38] Wilson, J. L (1975) Carbonate facies in geologic history. Springer- Verlag, New York, 471p.